



UNIVERSITÄT  
LEIPZIG

Rasterung

# COMPUTERGRAPHIK

---

# Inhaltsverzeichnis

## 3 Rasterung

3.1 Rasterung von Linien

3.2 Rasterung von Geraden

3.3 Rasterung von Kreisen

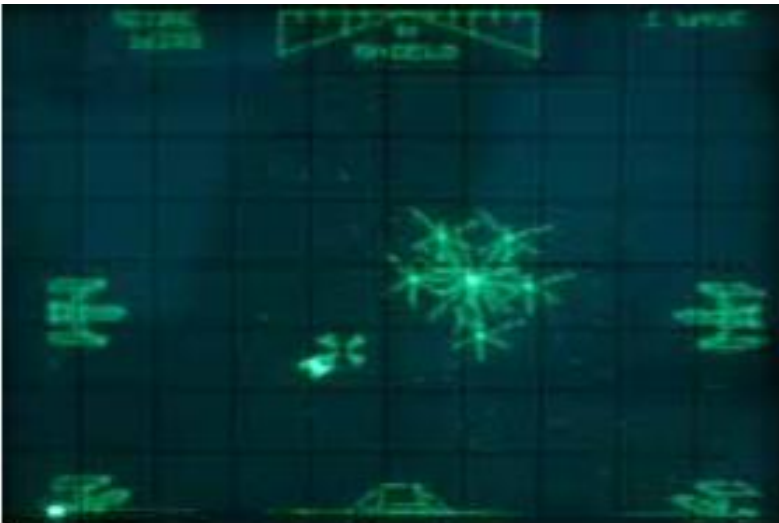
3.4 Füllalgorithmen

3.5 Aliasing

### 3. Rasterung

#### Darstellungsmöglichkeiten

- Vektordarstellung
  - Plotter, Elektronenstrahl (Oszilloskop)
  - Einzelne Linien (Vektoren) werden gezeichnet
  - Bild setzt sich aus Linien zusammen
  - Eingeschränkte Darstellungsmöglichkeiten



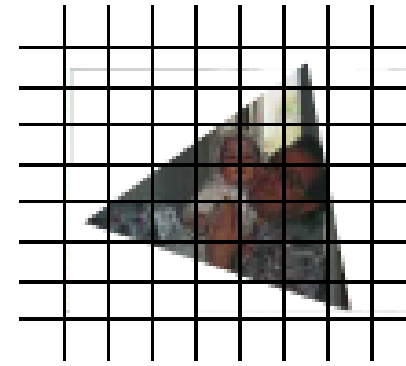
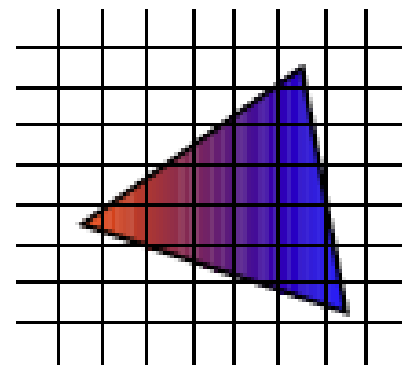
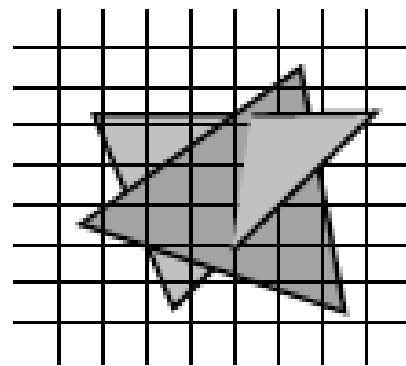
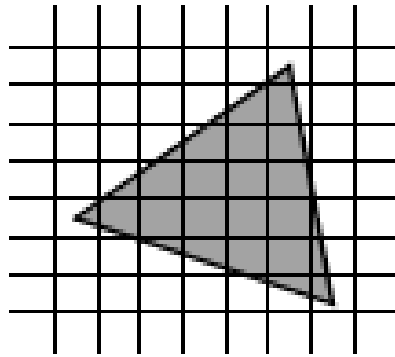
# 3. Rasterung

## Darstellungsmöglichkeiten

- Rasterdisplays
  - Bild wird in Bildpunkte diskretisiert
  - Erfordert Framebuffer (Bildspeicher)

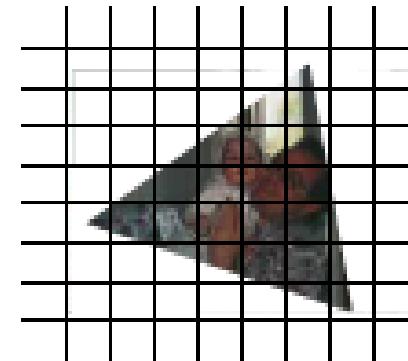
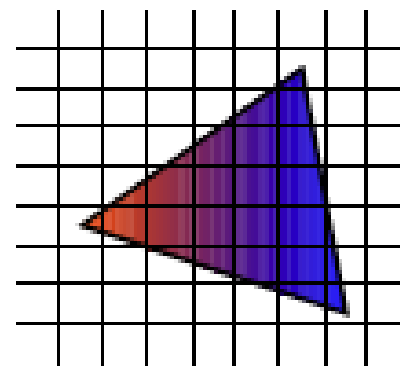
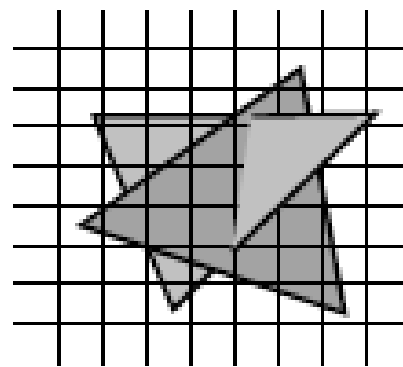
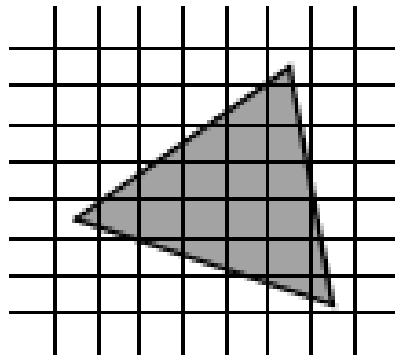
### 3. Rasterung

- Die dominierenden Rasterbildschirme erfordern die „Zerlegung“ aller darzustellenden geometrischen Objekte in Bildschirmpunkte
- Dieser Prozess wird auch als Rasterung bezeichnet
- Dies ist die Aufgabe der Bilderzeugungseinheit DPU (Display Processing Unit) des Bildrechners:  
Rastereinheit/Rasterprozessor



### 3. Rasterung

- Wir beschäftigen uns näher mit:
  - Rasterung von Geraden, Kreisen, Ellipsen, Polygonen
  - Antialiasing von Linien und Polygonen



## 3.1 Rasterung von Linien

### Problemstellung

- Darstellung einer Linie auf einem Rasterbildschirm erfordert die Bestimmung der „am besten passenden“ Punkte im Raster bzw. Gitter (geeignete ganzzahlige Rundung)

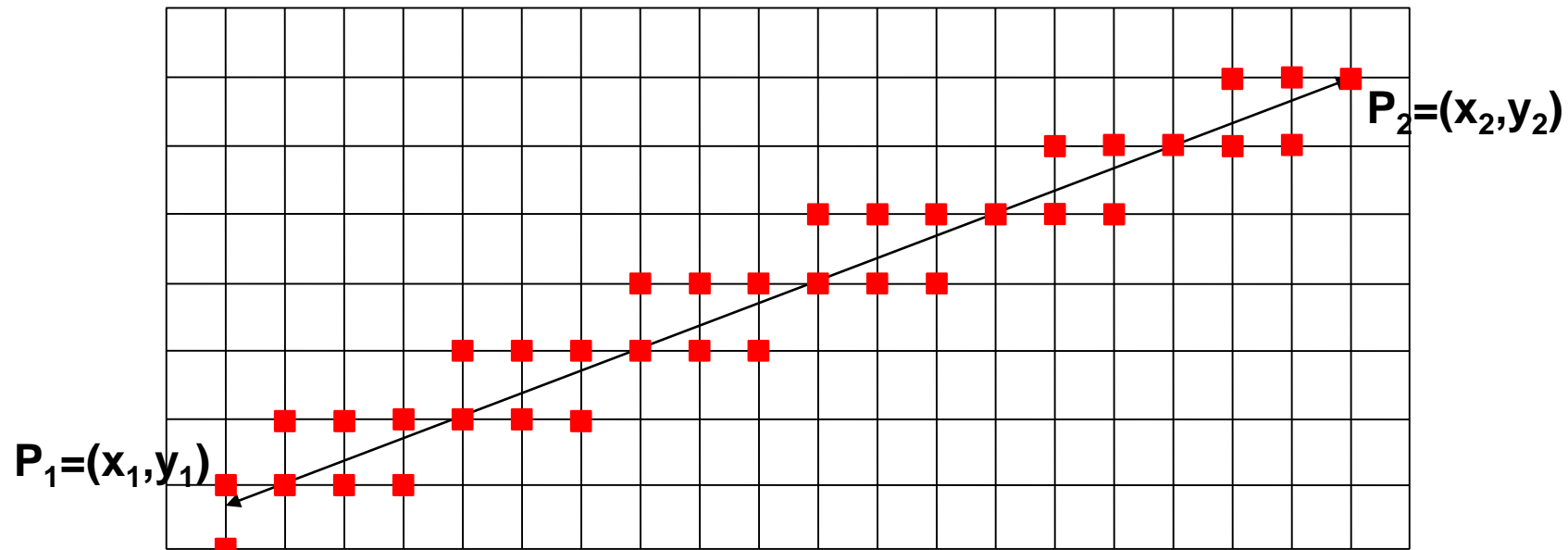


Abb. 2.1: Mögliche Rasterkandidaten

## 3.1 Rasterung von Linien

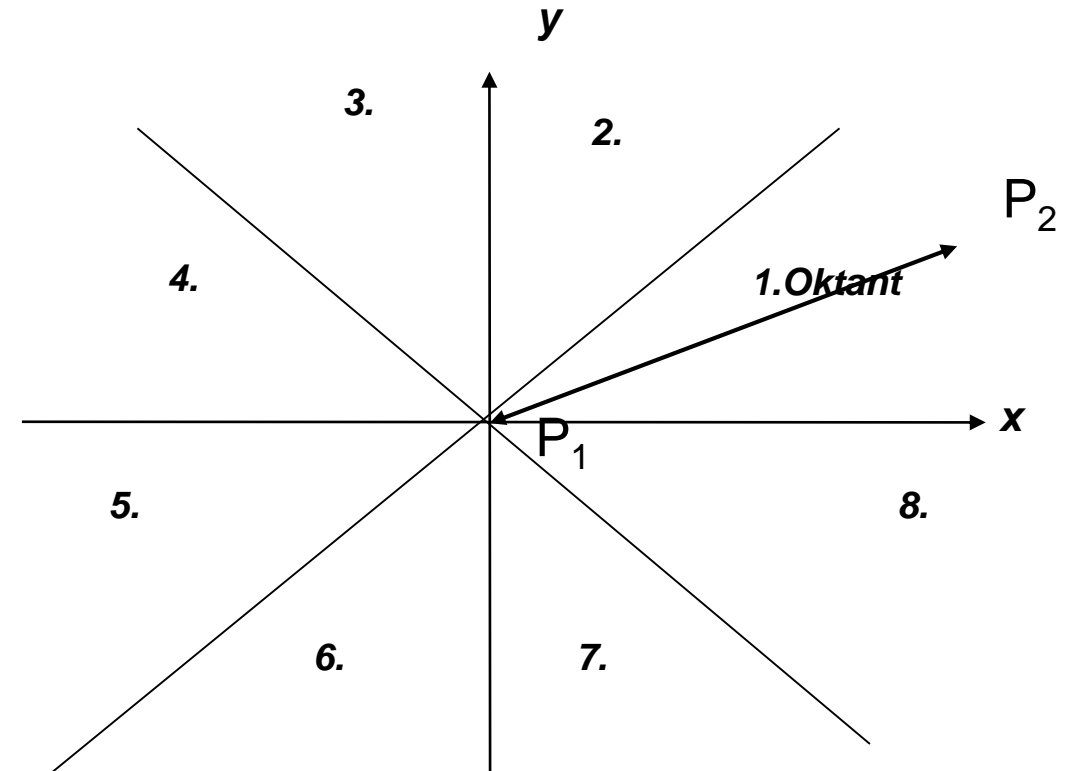
### Anforderungen

- Linien
  - sollen gerade erscheinen
  - sollen gleichmäßig hell erscheinen
  - sollen schnell gezeichnet werden
- Algorithmus
  - soll leicht in Hardware implementierbar sein



## 3.1 Rasterung von Linien

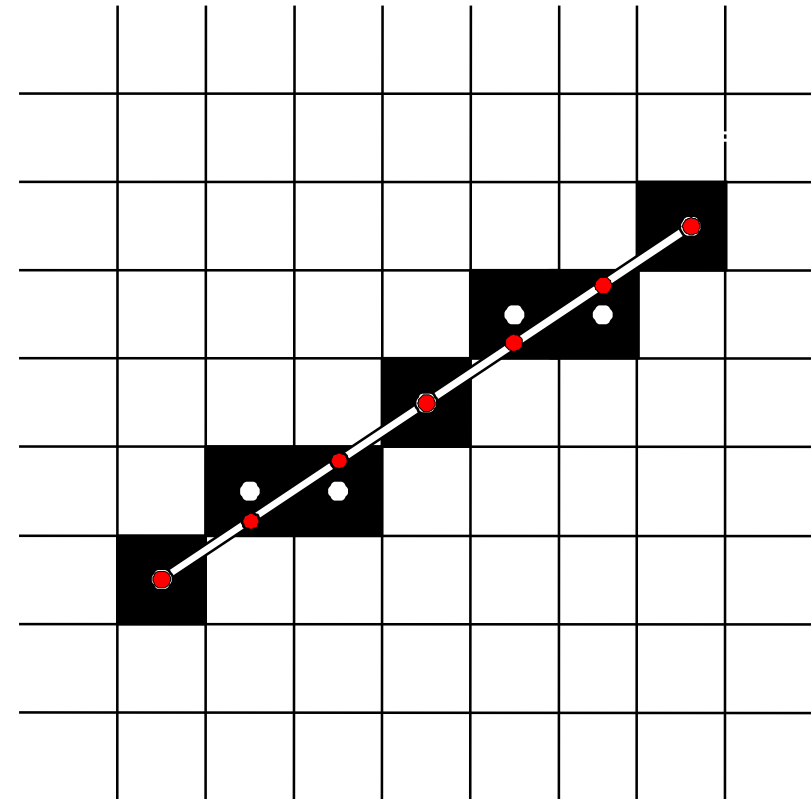
- Fallunterscheidung in Oktanten (nach Steigung)
- Hier:
  - Ursprung des zugeordneten Koordinatensystems in  $P_1$
  - 1. Oktant
  - $P_1$  und  $P_2$  auf Rastergitter



## 3.1 Rasterung von Linien

### DDA-Algorithmus für Geraden [1965]

- DDA
  - Digital Differential Analyzer
  - Digitaler Integrierer
- Ein DDA-Algorithmus generiert eine Kurve (nicht nur eine Gerade) aus einer beschreibenden Differentialgleichung

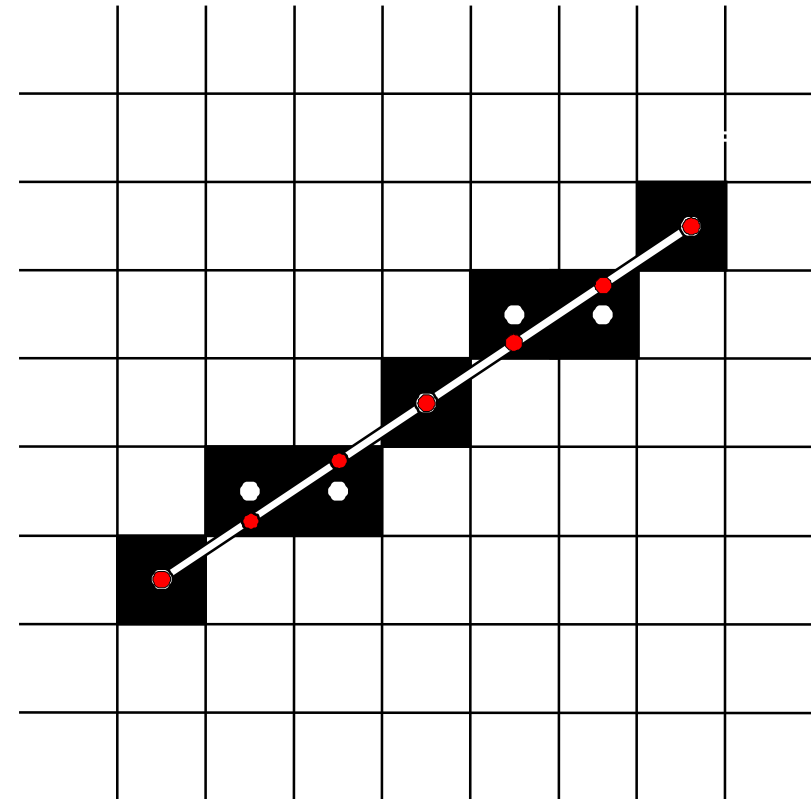


## 3.1 Rasterung von Linien

### DDA-Algorithmus für Geraden [1965]

- $\Delta x = x_2 - x_1$  ( $= x_{i+1} - x_i$ )
- $\Delta y = y_2 - y_1$  ( $= y_{i+1} - y_i$ )
- $-1 \leq \frac{\Delta y}{\Delta x} \leq 1$
- $x_{i+1} = x_1 + i, i = 1, \dots, \Delta x - 1$
- Direkte Berechnung

$$y_{i+1} = \frac{\Delta y}{\Delta x} \cdot x_{i+1} + b$$



## 3.1 Rasterung von Linien

### DDA-Algorithmus für Geraden [1965]

Inkrementelle Berechnung von  $y_{i+1}$

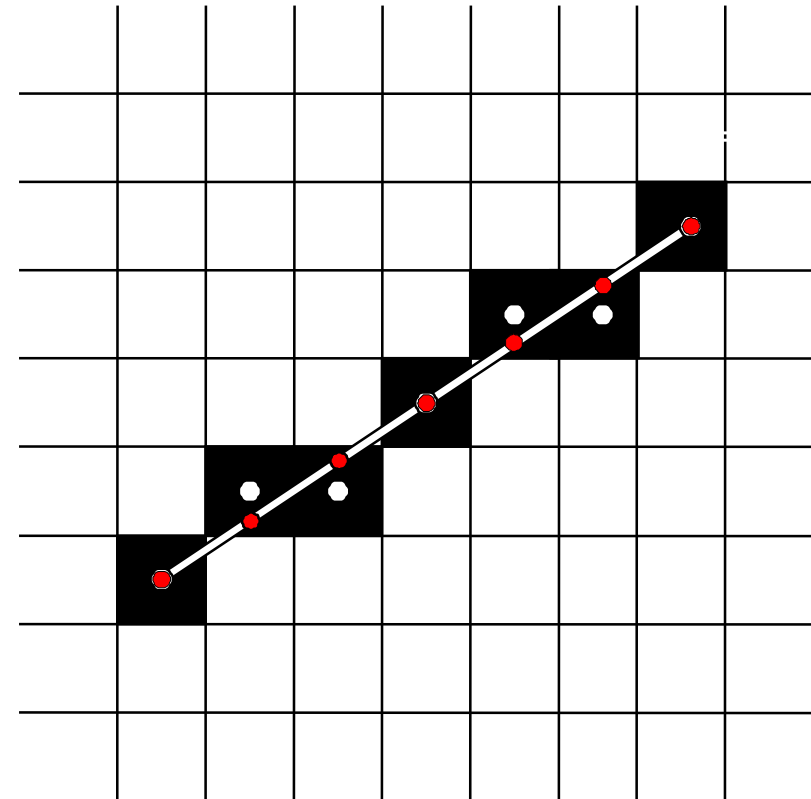
$$\begin{aligned}y_{i+1} &= \frac{\Delta y}{\Delta x} \cdot x_{i+1} + b \\&= \frac{\Delta y}{\Delta x} \cdot (x_{i+1} + (x_i - x_i)) + b \\&= \frac{\Delta y}{\Delta x} \cdot x_i + b + \frac{\Delta y}{\Delta x} \cdot (x_{i+1} - x_i) \\&= y_i + \frac{\Delta y}{\Delta x}\end{aligned}$$

Vorteile inkrementell

- schneller

Vorteil direkt

- genauer



## 3.2 Rasterung von Geraden

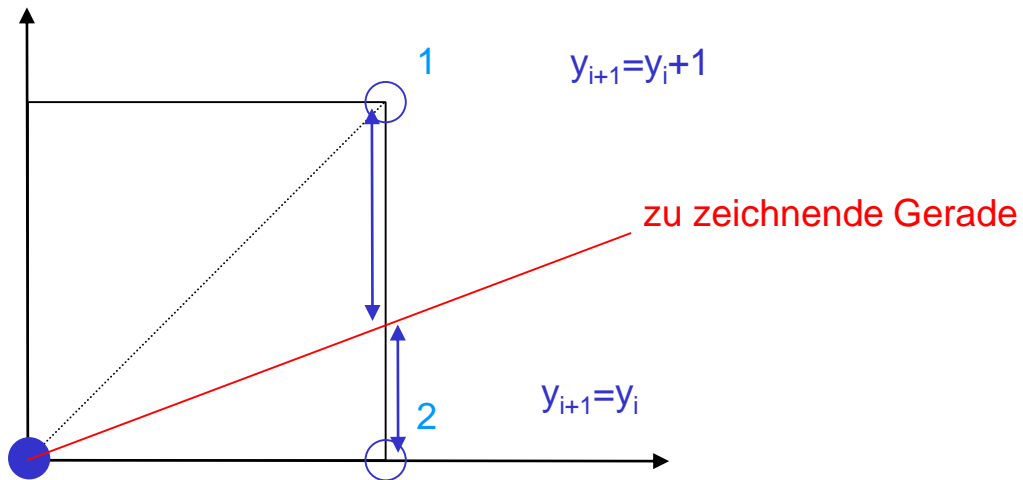
### Bresenham-Algorithmus für Geraden [1965]

- Idee:
  - Abhängig von der Steigung der Geraden wird die x- oder y-Koordinate immer um genau eine Einheit geändert
  - Die andere Koordinate wird entweder nicht oder ebenfalls um eine Einheit geändert
  - Fallunterscheidung nach der kleineren Abweichung der Geraden zum nächsten Gitterpunkt in Koordinatenrichtung

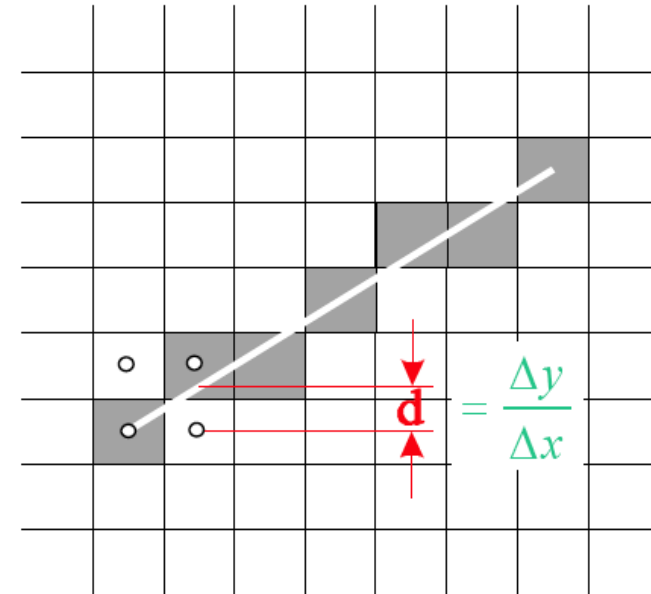
## 3.2 Rasterung von Geraden

### Bresenham-Algorithmus für Geraden [1965]

- Entweder **Punkt 1** oder **Punkt 2** wird gezeichnet, je nachdem, welcher näher zur **Geraden** liegt



- $y(x) = m \cdot x + c$
- $y'(x) = m = \frac{\Delta y}{\Delta x} = d$



## 3.2 Rasterung von Geraden

### Bresenham-Algorithmus für Geraden [1965]

- Zur Realisierung wird eine **Entscheidungsgröße E** eingeführt, welche die Abweichung zwischen dem exakten Punkt und der Mitte zwischen den beiden möglichen Rasterpunkten angibt:

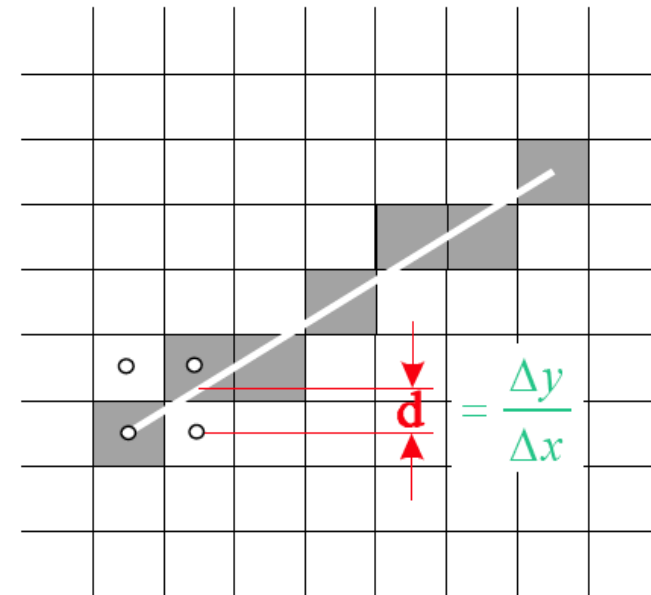
$$E = \frac{\Delta y}{\Delta x} - \frac{1}{2} = d - \frac{1}{2}$$

- Das **Vorzeichen von E** dient dann als Kriterium für die Rundung auf den nächsten Rasterpunkt:

- $E > 0$ :  $x++$ ;  $y++$ ;  $E += d - 1$
- $E \leq 0$ :  $x++$ ;  $E += d$

- $y(x) = m \cdot x + c$

- $y'(x) = m = \frac{\Delta y}{\Delta x} = d$



## 3.2 Rasterung von Geraden

### Bresenham-Algorithmus für Geraden [1965]

- Vermeidung der Division

$$E = \frac{\Delta y}{\Delta x} - \frac{1}{2} = \frac{2 \cdot \Delta y - \Delta x}{2 \cdot \Delta x}$$

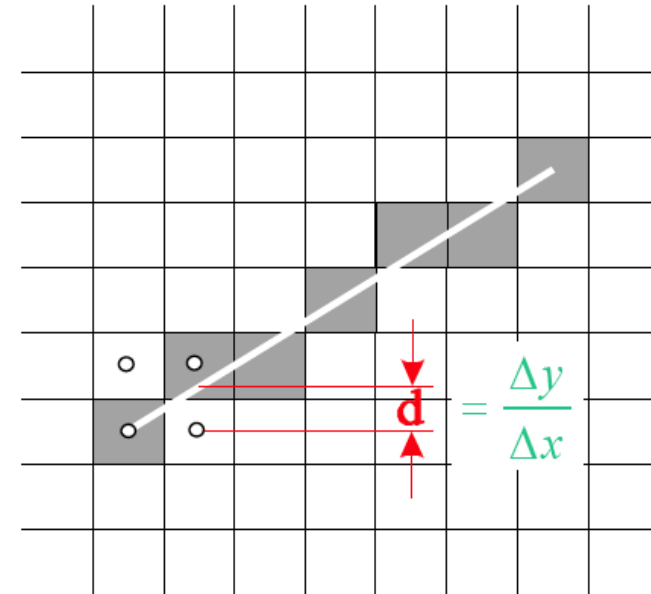
$$\Downarrow \cdot 2 \cdot \Delta x$$

$$E' = 2 \cdot \Delta y - \Delta x$$

- $E' > 0$ :  $x++$ ;  $y++$ ;  $E' += 2 \cdot \Delta y - 2 \cdot \Delta x$
- $E' \leq 0$ :  $x++$ ;  $E' += 2 \cdot \Delta y$

- $y(x) = m \cdot x + c$

- $y'(x) = m = \frac{\Delta y}{\Delta x} = d$





## 3.2 Rasterung von Geraden

### Bresenham-Algorithmus für Geraden [1965]

- Erster Oktant
- Ausschließlich ganzzahlige Operanden
- $e := E'$
- $dx := \Delta x$
- $dy := \Delta y$

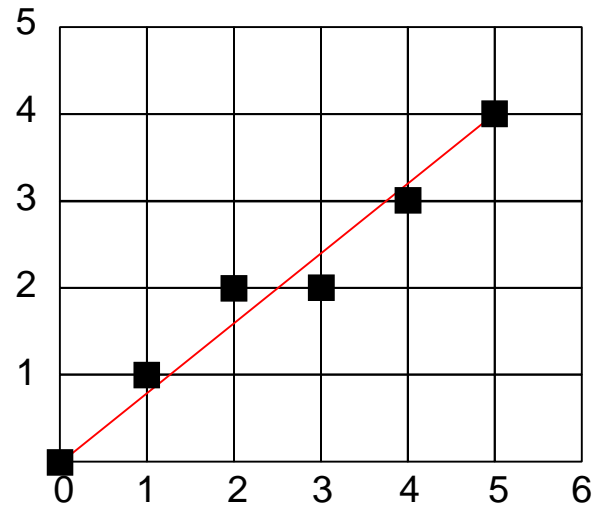
```
// (x1, y1), (x2, y2) Ganzzahlig
// x1 < x2, y1 < y2
x = x1; y = y1;
dx = x2 - x1; dy = y2 - y1;
e = 2 * dy - dx; // Initialisierung
for(i = 1; i <= dx; i++){
    // Schleife fuer x
    plot(x, y);
    if (e >= 0) {
        // oberen Punkt Zeichnen (y erhoehen)
        ++y;
        e -= 2 * dx;
    }
    ++x;
    e += 2 * dy;
}
plot(x, y);
```

## 3.2 Rasterung von Geraden

### Bresenham-Algorithmus für Geraden [1965]

#### Beispiel:

–  $P1=(0, 0)$ ,  $P2=(5, 4)$

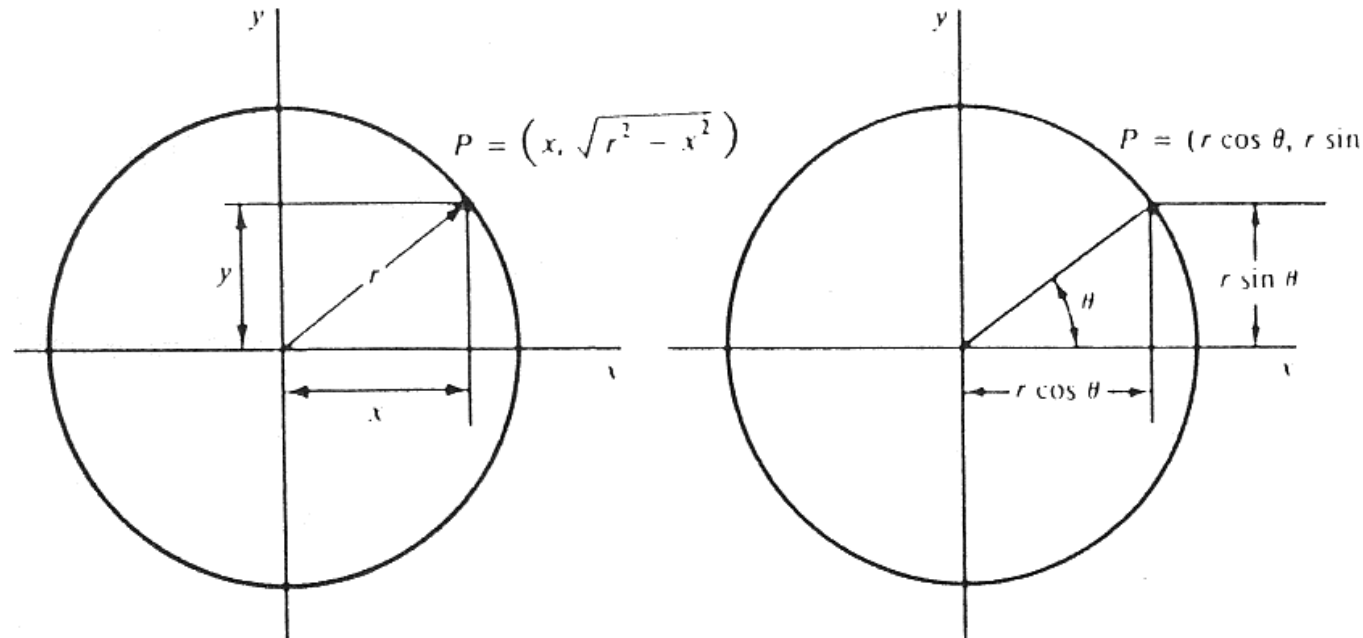


dx	dy	x	y	e	i	plot
5	4	0	0	3	1	(0,0)
			1	-7		
		1		1	2	(1,1)
			2	-9		
		2		-1	3	(2,2)
		3		7	4	(3,2)
			3	-3		
		4		5	5	(4,3)
			4	-5		
		5		3	6	
						(5,4)

## 3.2 Rasterung von Geraden

Darstellung eines Kreises mit Mittelpunkt  $(x_M, y_M)$  und Radius  $r$

- implizit:  $f(x, y) = (x - x_M)^2 + (y - y_M)^2 - r^2 = 0$
- Parameter:  $x(\theta) = x_M + r \cdot \cos \theta$ ,  $y(\theta) = y_M + r \cdot \sin \theta$ ,  $\theta \in [0, 2\pi[$
- Nachteil: Beide Methoden zur Kreisdarstellung sind rechenaufwändig



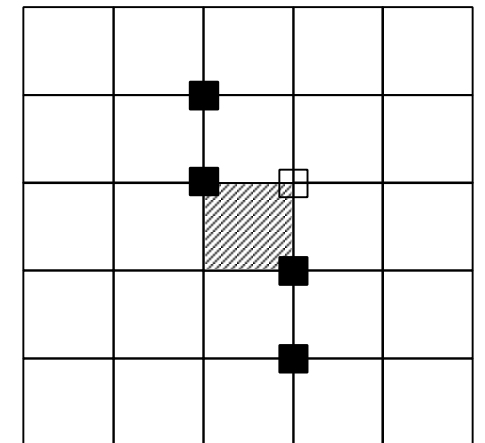
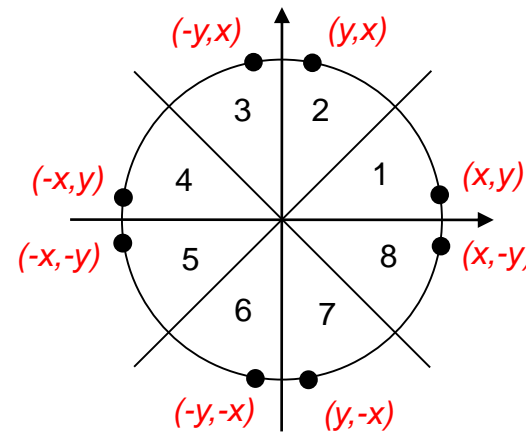
## 3.2 Rasterung von Geraden

### Darstellung eines Kreises: Bemerkungen

- Mit der Berechnung eines Kreispunktes sind durch **Symmetrie** 7 weitere Kreispunkte gegeben
- Für eine gleichmäßige Rasterung müssen die Pixel entlang des Kreises **möglichst gleichmäßig** verteilt sein
- Die Bewertung der Kreisapproximation im Raster ist subjektiv
- Ein häufig verwendetes Kriterium ist die **Minimierung des Residuums**

$$|x_i^2 + y_i^2 - r^2|$$

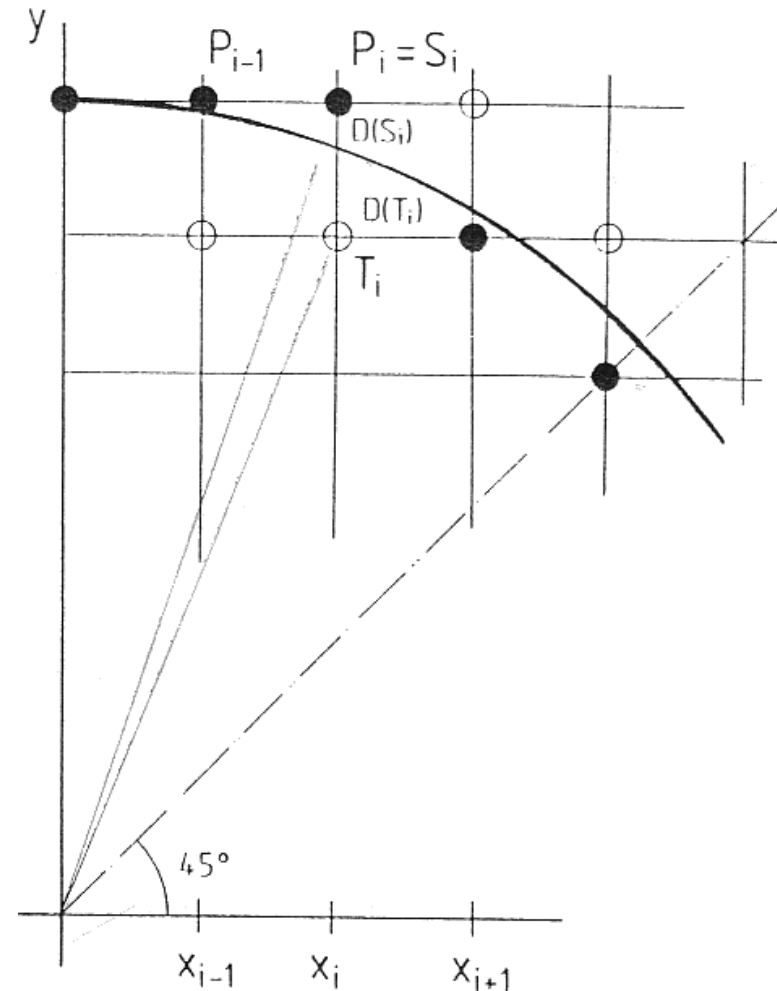
- von jedem Rasterquadrant dürfen nur 2 Eckpunkte gesetzt werden



## 3.2 Rasterung von Geraden

### Bresenham-Algorithmus für Kreise

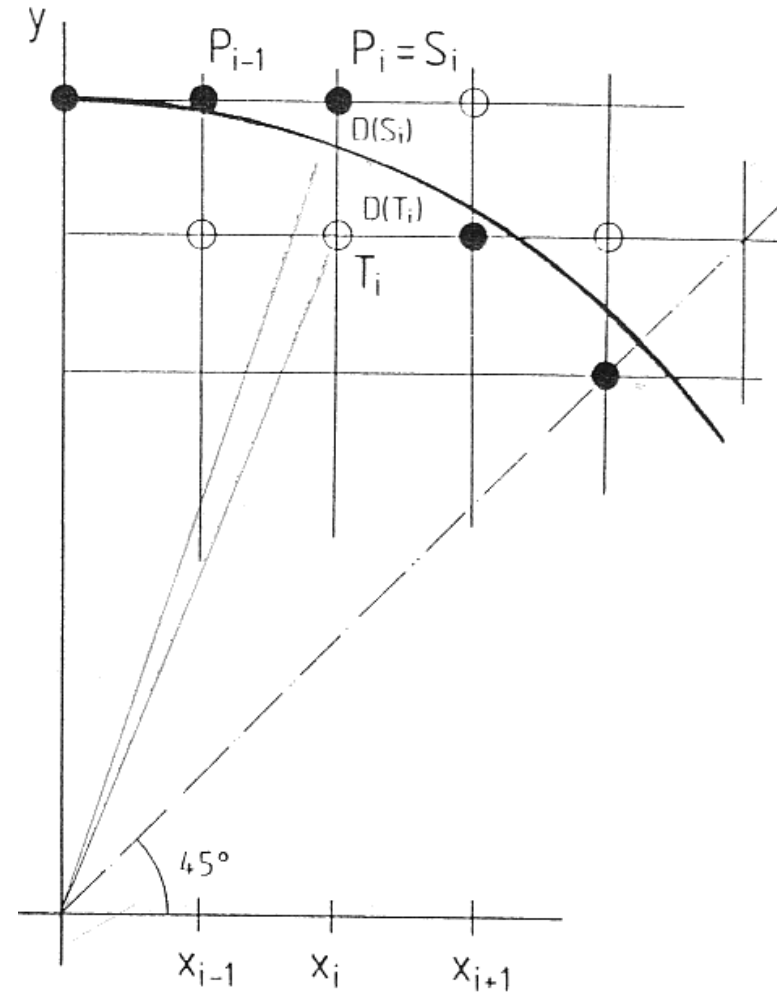
- Beste Approximation über Entscheidungsgröße  $d_i$  mittels minimalem Residuum
- Hier:
  - $(x_M, y_M) = (0,0)$
  - Startpunkt ist Rasterpunkt
  - $r \in \mathbb{N}$
  - 2. Oktant
  - $D(S_i) = (x_{i-1} + 1)^2 + y_{i-1}^2 - r^2$
  - $D(T_i) = (x_{i-1} + 1)^2 + (y_{i-1} - 1)^2 - r^2$
  - $d_i = |D(S_i)| - |D(T_i)|$



## 3.3 Rasterung von Kreisen

### Bresenham-Algorithmus für Kreise

- Die Entscheidungsgröße  $d_i$  **misst die Abstände** zum oberen und unteren Rasterpunkt
- $d_i > 0$ 
  - wähle  $P_i = T_i$  **als nächsten Punkt**
  - $x_i = x_{i-1} + 1$
  - $y_i = y_{i-1} - 1$
- $d_i \leq 0$ 
  - wähle  $P_i = S_i$  **als nächsten Punkt**
  - $x_i = x_{i-1} + 1$
  - $y_i = y_{i-1}$





### 3.3 Rasterung von Kreisen

#### Bresenham-Algorithmus für Kreise

$$\begin{aligned}d_i &= (x_{i-1} + 1)^2 + y_{i-1}^2 - r^2 + (x_{i-1} + 1)^2 + (y_{i-1} - 1)^2 - r^2 \\- &= 2 \cdot x_{i-1}^2 + 4 \cdot x_{i-1} + 2 + 2 \cdot y_{i-1}^2 - 2 \cdot y_{i-1} + 1 - 2 \cdot r^2 \\&= 2 \cdot x_{i-1}^2 + 4 \cdot x_{i-1} + 2 \cdot y_{i-1}^2 - 2 \cdot y_{i-1} + 3 - 2 \cdot r^2\end{aligned}$$

–  $d_i > 0$ :

$$\begin{aligned}d_{i+1} &= 2 \cdot x_i^2 + 4 \cdot x_i + 2 \cdot y_i^2 - 2 \cdot y_i + 3 - 2 \cdot r^2 \\&= 2 \cdot x_{i-1}^2 + 8 \cdot x_{i-1} + 6 + 2 \cdot y_{i-1}^2 - 6 \cdot y_{i-1} + 4 + 3 - 2 \cdot r^2 \\&= d_i + 4 \cdot x_{i-1} - 4 \cdot y_{i-1} + 10 \\&= d_i + 4 \cdot x_i - 4 \cdot y_i + 2 \\&= d_i + 4 \cdot (x_i - y_i) + 2\end{aligned}$$



### 3.3 Rasterung von Kreisen

#### Bresenham-Algorithmus für Kreise

$$\begin{aligned} d_i &= (x_{i-1} + 1)^2 + y_{i-1}^2 - r^2 + (x_{i-1} + 1)^2 + (y_{i-1} - 1)^2 - r^2 \\ - &= 2 \cdot x_{i-1}^2 + 4 \cdot x_{i-1} + 2 + 2 \cdot y_{i-1}^2 - 2 \cdot y_{i-1} + 1 - 2 \cdot r^2 \\ &= 2 \cdot x_{i-1}^2 + 4 \cdot x_{i-1} + 2 \cdot y_{i-1}^2 - 2 \cdot y_{i-1} + 3 - 2 \cdot r^2 \end{aligned}$$

–  $d_i \leq 0$ :

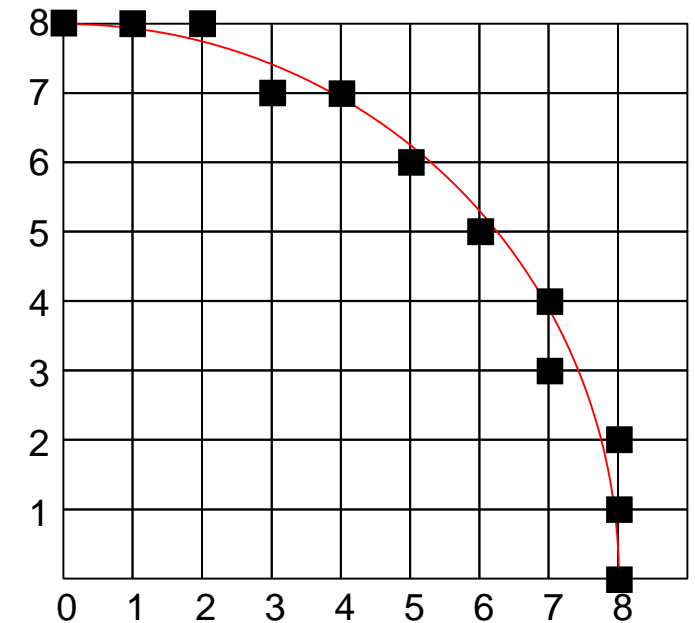
$$\begin{aligned} d_{i+1} &= 2 \cdot x_i^2 + 4 \cdot x_i + 2 \cdot y_i^2 - 2 \cdot y_i + 3 - 2 \cdot r^2 \\ &= 2 \cdot x_{i-1}^2 + 8 \cdot x_{i-1} + 6 + 2 \cdot y_{i-1}^2 - 2 \cdot y_{i-1} + 3 - 2 \cdot r^2 \\ &= d_i + 4 \cdot x_{i-1} + 6 \\ &= d_i + 4 \cdot x_i + 2 \end{aligned}$$

## 3.3 Rasterung von Kreisen

### Bresenham-Algorithmus für Kreise

- Startwerte:
  - $d_1 = 3 - 2 \cdot r$
  - $x_1 = 0$
  - $y_1 = r$
- Beispiel:  $r = 8$
- $d_i > 0: d_{i+1} = d_i + 4 \cdot (x_i - y_i) + 2$
- $d_i \leq 0: d_{i+1} = d_i + 4 \cdot x_i + 2$

d	x	y
	0	8
-13		
	1	8
-7		
	2	8
3		
	3	7
-11		
	4	7
7		
	5	6



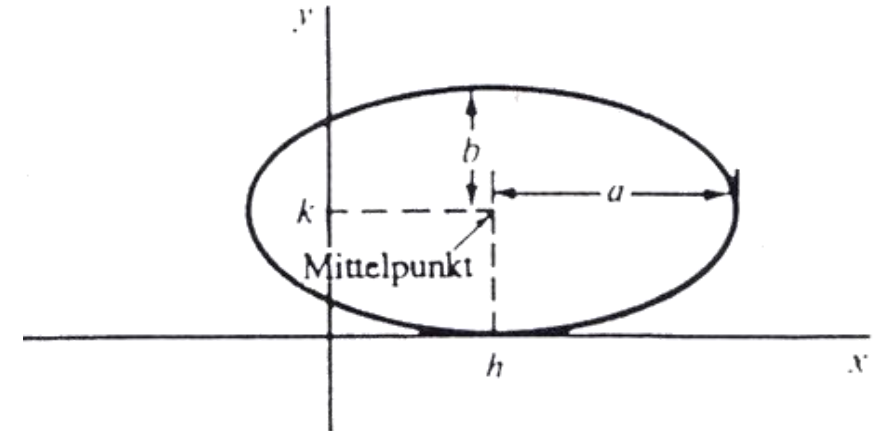
## 3.3 Rasterung von Kreisen

### Ellipsendarstellung

- Zur Rasterung betrachtet man die Ellipsen
  - in **Normalform**
  - mit zu den **Koordinatenachsen parallelen Hauptachsen**
- Algorithmus von Kappel

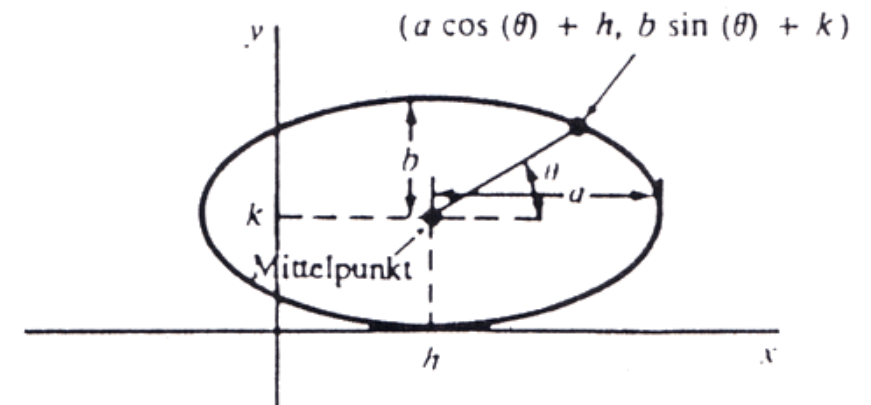
- o Ellipsenerzeugung über die implizite Darstellung

$$\frac{(x - h)^2}{a^2} + \frac{(y - k)^2}{b^2} = 1$$



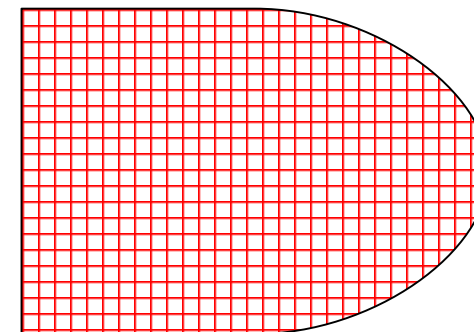
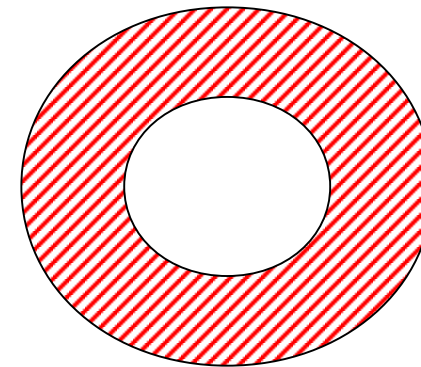
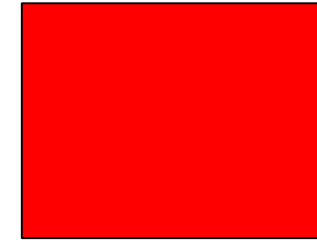
- o Ellipsenerzeugung über die Parameterdarstellung

$$x = h + a \cos \theta \quad y = k + b \sin \theta$$



## 3.4 Füllalgorithmen

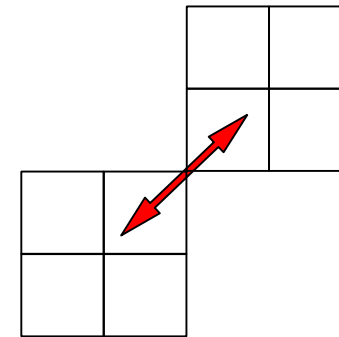
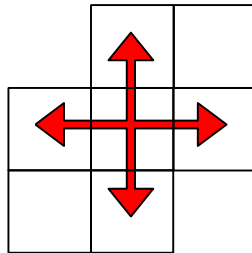
- Ziel: Füllen bzw. Einfärben eines begrenzten Bereiches oder Gebietes mit einer Füllfarbe oder einem Muster bzw. einer Schraffur
- Beispiele:
  - Balkendiagramme
  - Flächen
  - Körper
- Beschreibung der zu füllenden Gebiete erfolgt geometrisch
  - Durch Ecken, Strecken, Polygone, Kreise (randdefiniert)
  - Durch Pixel (inhaltsdefiniert)



## 3.4 Füllalgorithmen

### Zusammenhang von Gebieten

- 4-fach zusammenhängend (nur Horizontal- und Vertikalbewegung)
- 8-fach zusammenhängend (zusätzlich Diagonalbewegung möglich)



## 3.4 Füllalgorithmen

- Bemerkungen
  - Füllalgorithmen mit **8 Freiheitsgraden** (Bewegungsrichtungen) können **auch 4-fach** zusammenhängende Gebiete füllen.
  - Füllalgorithmen mit **4 Freiheitsgraden können keine 8-fach** zusammenhängenden Gebiete füllen.
- Problem:  
4-fach zusammenhängende Gebiete mit gemeinsamen Ecken
- Techniken zum Rastern eines Polygons / Füllen eines Gebietes
  - Scan-Line-Methode
  - Saatkorn-Methode
  - Hybrid-Methoden

## 3.4 Füllalgorithmen

### Scan-Line-Methode

- Andere Bezeichnungen
  - Rasterzeilen-Methode
  - Scan-Conversion
- Arbeitet zeilenweise von oben nach unten
- Ein Pixel der aktuellen Zeile (Scan-Line) wird nur dann gezeichnet, wenn es innerhalb des Polygons liegt
- Definition der Gebiete
  - Geometrisch
  - Pixelweise

## 3.4 Füllalgorithmen

### Scan-Line-Methode

```
– // einfachster Ansatz:  
– for (y = ymin; y <= ymax; y++) {  
– // row, Zeile  
– for (x = xmin; x <= xmax; x++) {  
– // column, Spalte  
– if (Inside(polygon, x, y) {  
–   SetPixel(x,y);  
– }  
– }  
– }
```

- Eigenschaften
  - Sehr langsam
  - Verbesserung der Laufzeit durch Ausnutzung von Kohärenz



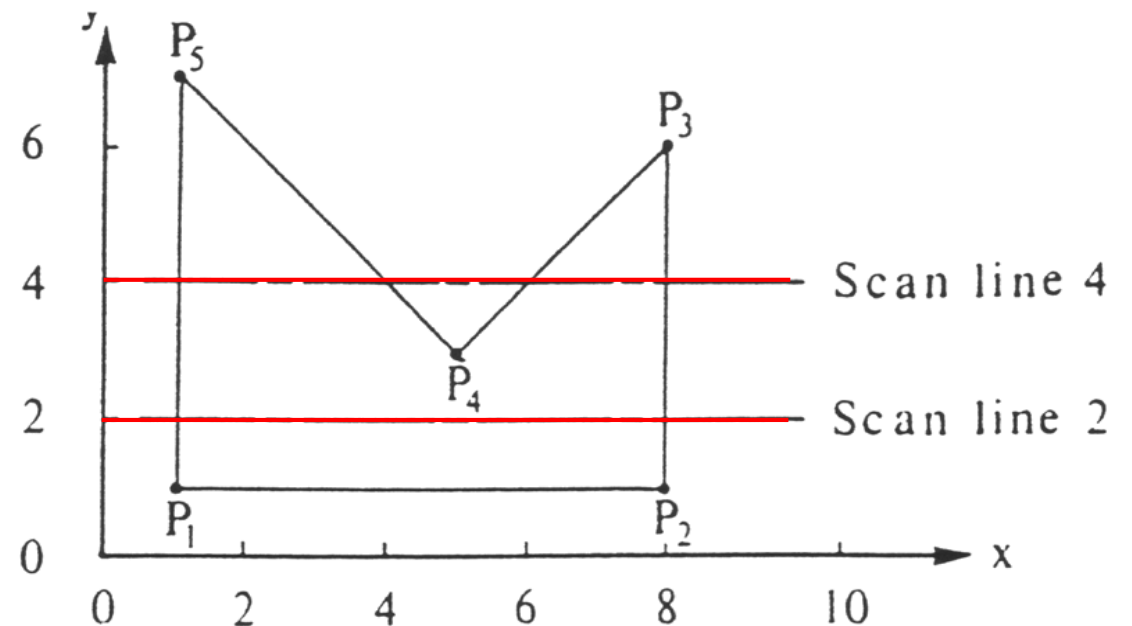
## 3.4 Füllalgorithmen

### Scan-Line-Methode

- Ausnutzung von Zeilenkohärenz
  - Benachbarte Pixel auf einer Zeile besitzen höchstwahrscheinlich die gleichen Intensitätswerte
  - Pixelcharakteristik (Intensität) ändert sich nur dort, wo ein Schnittpunkt einer Polygonkante mit einer Scan Line vorliegt, d.h. der Bereich zwischen zwei Schnittpunkten gehört zum Polygon oder nicht

- Schnitt mit Polygon

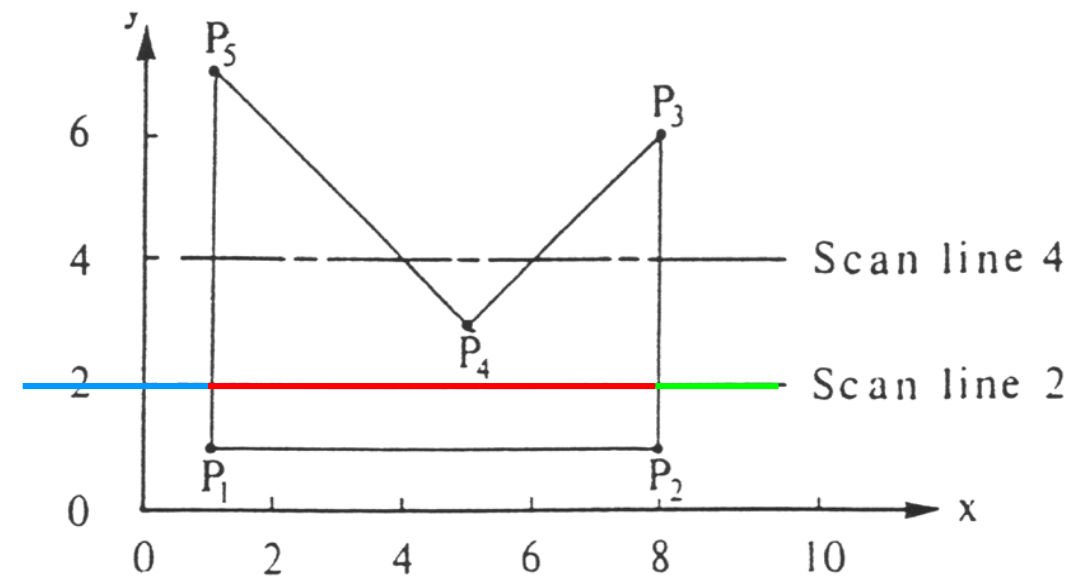
- $y = 2$ : für  $x = 1, 8$
- $y = 4$ : für  $x = 1, 4, 6, 8$



## 3.4 Füllalgorithmen

### Scan-Line-Methode

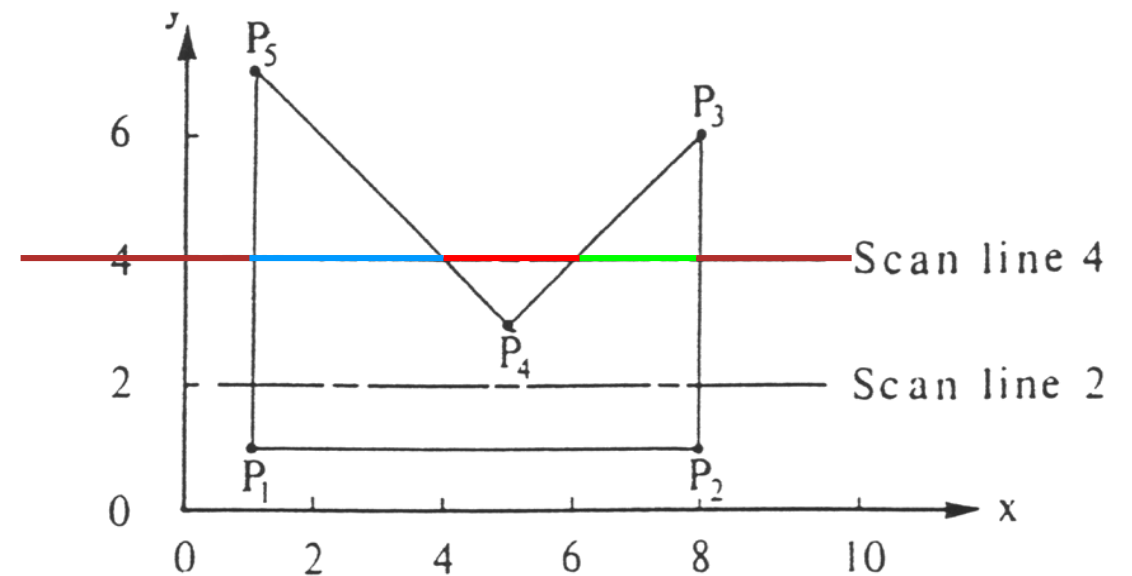
- Scan-Line  $y = 2$
- Unterteilung in 3 Bereiche:
  - $x < 1$  außerhalb des Polygons
  - $1 \leq x \leq 8$  innerhalb des Polygons
  - $x > 8$  außerhalb des Polygons



## 3.4 Füllalgorithmen

### Scan-Line-Methode

- Scan-Line  $y = 4$
- Unterteilung in 5 Bereiche:
  - $x < 1$  außerhalb des Polygons
  - $1 \leq x \leq 4$  innerhalb des Polygons
  - $4 < x < 6$  außerhalb des Polygons
  - $6 \leq x \leq 8$  innerhalb des Polygons
  - $8 < x$  außerhalb des Polygons

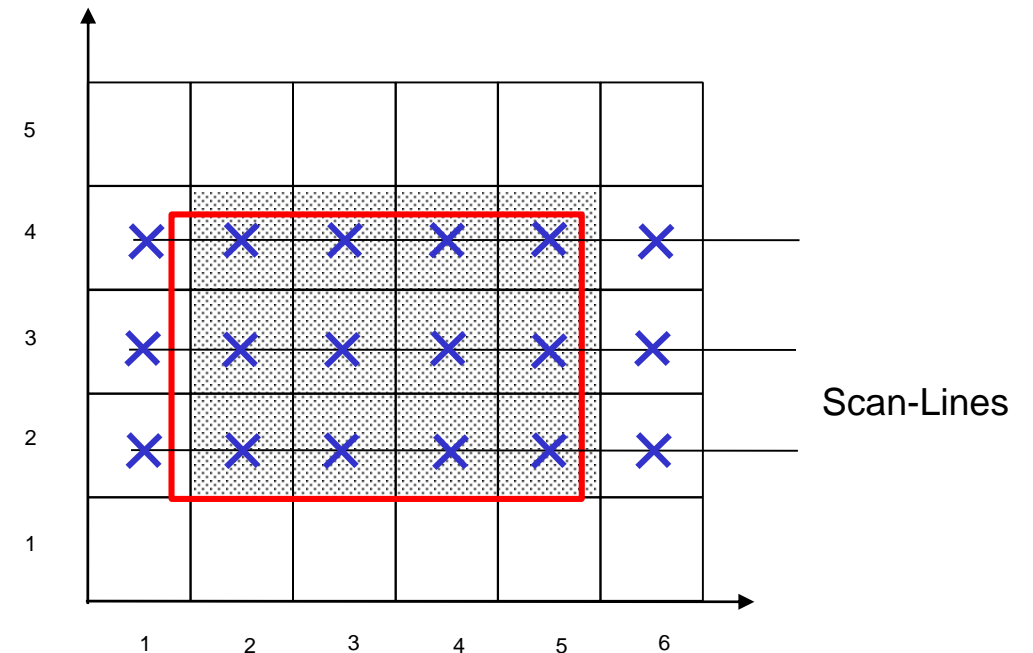


## 3.4 Füllalgorithmen

### Scan-Line-Methode

- Ausnutzung von Zeilenkohärenz
  - Benachbarte Pixel auf einer Zeile besitzen höchstwahrscheinlich die gleichen Intensitätswerte
  - Pixelcharakteristik (Intensität) ändert sich nur dort, wo ein Schnittpunkt einer Polygonkante mit einer Scan Line vorliegt, d.h. der Bereich zwischen zwei Schnittpunkten gehört zum Polygon oder nicht

- Hier sind die Pixelzeilen und -spalten nummeriert, nicht die Koordinaten der Achsen!



## 3.4 Füllalgorithmen

### Scan-Line-Methode

- Probleme treten auf, wenn die Scan-Line das Polygon in einer Ecke schneidet  
→ Betrachte **lokale Extrema**
- Lokale Extrema:
  - y-Werte der **Endpunkte** der in dieser Ecke beginnenden Polygonseiten sind **beide größer** oder **beide kleiner** als der y-Wert der **Schnittecke**
  - Fallunterscheidung:
    - ist die Ecke ein lokales Extrema, so zählt der **Schnitt zweifach**
    - ist die Ecke kein lokales Extrema, so zählt der **Schnitt nur einfach**
- Einfacher Kanten-Listen-Algorithmus: Ordered Edge List Algorithm
- Funktionsweise:
  - Preprocessing
  - Scan Conversion

## 3.4 Füllalgorithmen

### Scan-Line-Methode

#### – Preprocessing

- Ermittle für jede Polygonkante die **Schnittpunkte mit den Scan-Lines** in der Pixelmitte
  - Bresenham
  - DDA-Algorithmus
- Ignoriere dabei **horizontale Kanten**
- **Speichere** jeden Schnittpunkt  $(x, y)$  in einer Liste
- **Sortiere die Liste** dann von oben nach unten und von links nach rechts

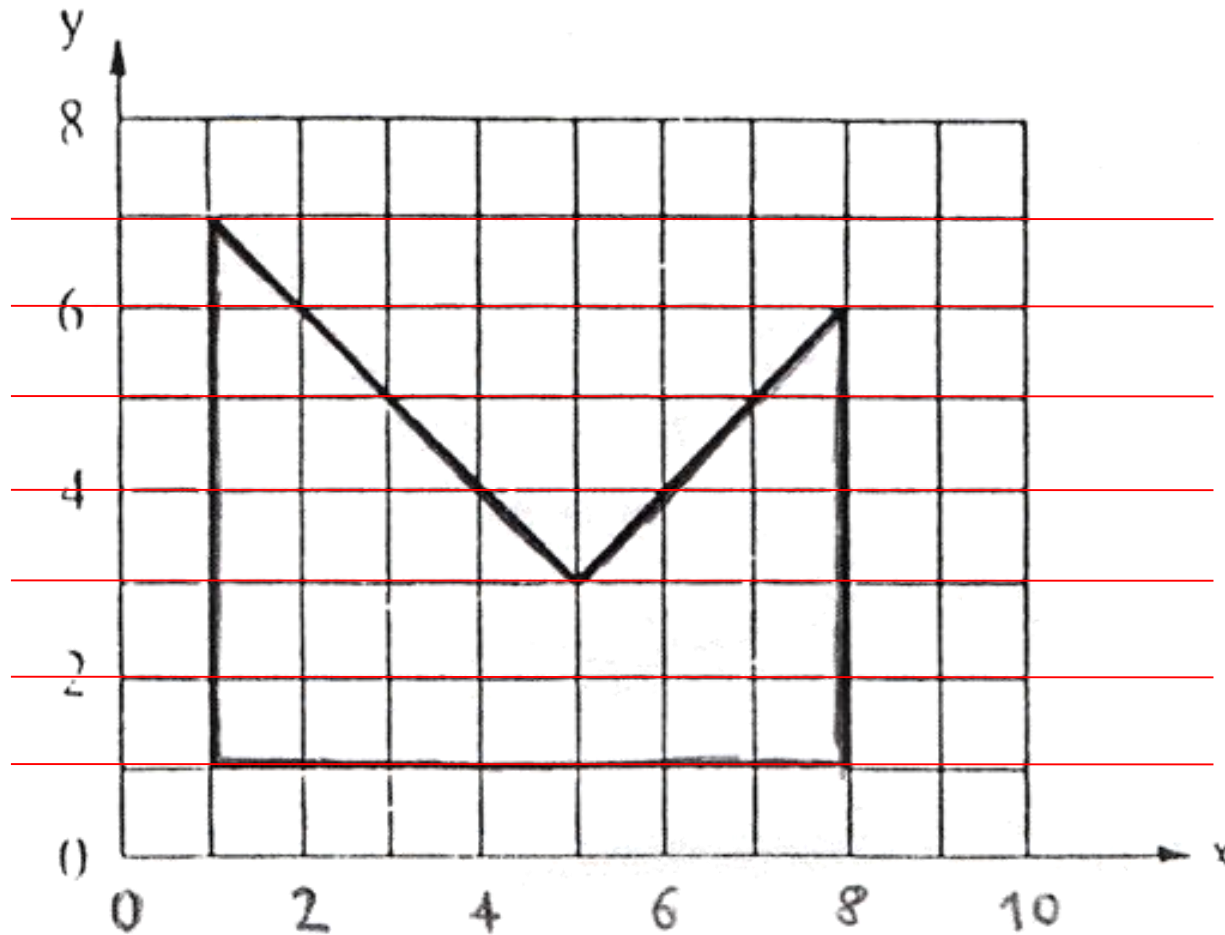
#### – Scan-Conversion

- Betrachte jeweils zwei direkt **aufeinander folgende Schnittpunkte**  $(x_1, y_1)$  und  $(x_2, y_2)$  der Liste
  - Listenelemente 1 und 2
  - Listenelemente 3 und 4
  - ...
- Aufgrund des Preprocessing gilt für die Scan-Line  $y$   
 $y = y_1 = y_2$  und  $x_1 \leq x_2$
- Zeichne alle Pixel auf der Scan-Line  $y$ , für die gilt:  
 $x_1 \leq x < x_2$  mit ganzzahligem  $x$

## 3.4 Füllalgorithmen

### Scan-Line-Methode: Preprocessing

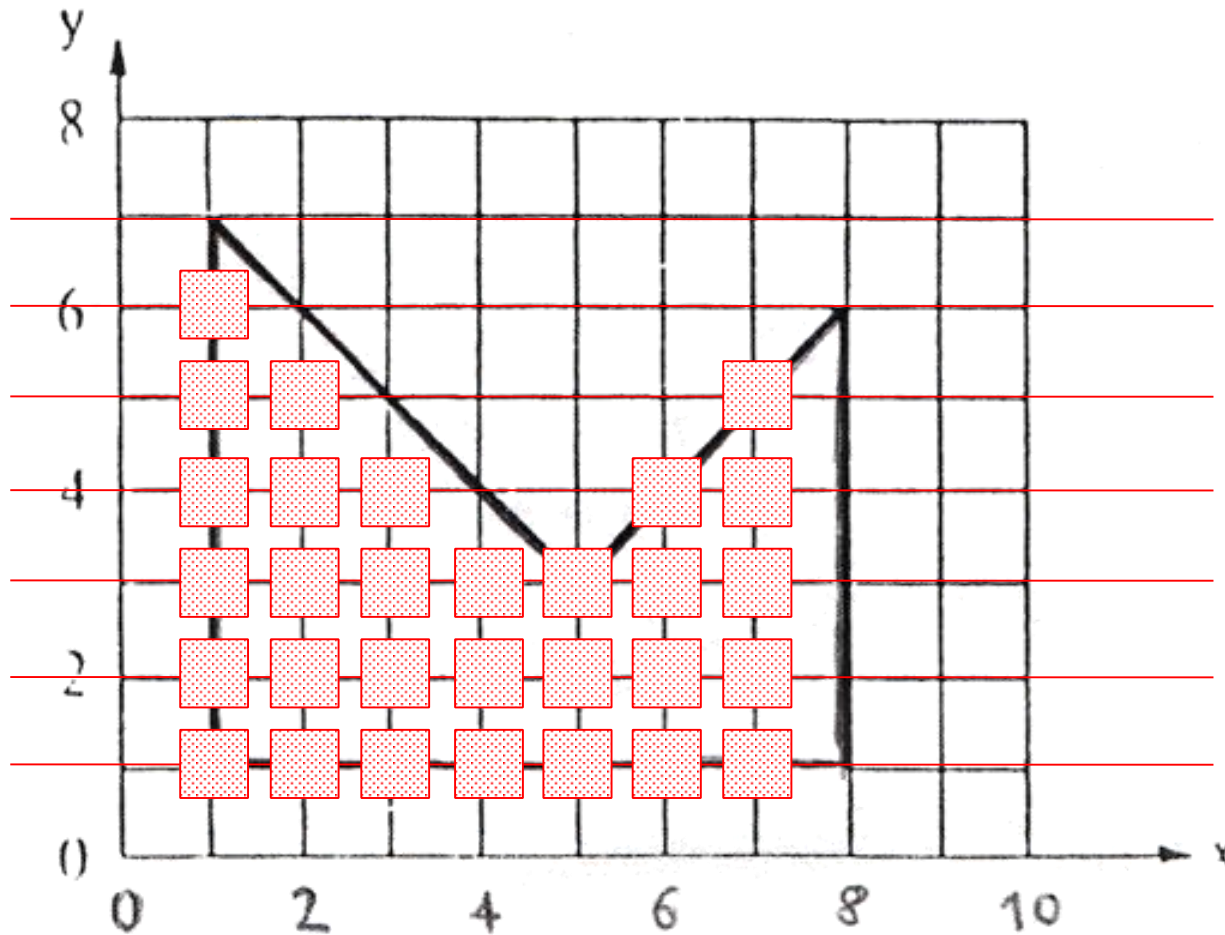
(1,7), (1,7)  
(1,6), (2,6), (8,6), (8,6)  
(1,5), (3,5), (7,5), (8,5)  
(1,4), (4,4), (6,4), (8,4)  
(1,3), (5,3), (5,3), (8,3)  
(1,2), (8,2)  
(1,1), (8,1)



## 3.4 Füllalgorithmen

### Scan-Line-Methode: Scan-Conversion

(1,7), (1,7)  
(1,6), (2,6), (8,6), (8,6)  
(1,5), (3,5), (7,5), (8,5)  
(1,4), (4,4), (6,4), (8,4)  
(1,3), (5,3), (5,3), (8,3)  
(1,2), (8,2)  
(1,1), (8,1)





## 3.4 Füllalgorithmen

### Saatpunkt-Methode / Seed-Fill

- Seed-Fill-Methoden füllen das Gebiet ausgehend von einem **Ausgangspixel** (Saatpunkt, Seed)
- Eignet sich für **pixelweise definierte Gebiete**, also für Rastergeräte
- Man unterscheidet nach der Art der Gebietsdefinition:
  - i. **Boundary-Fill-Algorithmus**  
für randdefinierte Gebiete
  - ii. **Flood/Interior-Fill-Algorithmus**  
für inhaltsdefinierte Gebiete

## 3.4 Füllalgorithmen

### Saatpunkt-Methode / Seed-Fill

#### i. Boundary-Fill-Algorithmus

- Input
  - Startpunkt (Saatpunkt)
  - Farbe der **Begrenzungskurve**
  - Füllfarbe oder Muster
- Algorithmus
  - Wiederhole
    - Vom Startpixel ausgehend werden rekursiv Nachbapixel umgefärbt
  - Bis Pixel mit **der Farbe der Begrenzungskurve oder bereits umgefärbte Pixel** erreicht werden

## 3.4 Füllalgorithmen

### Saatpunkt-Methode / Seed-Fill

#### i. Boundary-Fill-Algorithmus

- Input
  - Startpunkt (Saatpunkt)
  - Farbe der **Begrenzungskurve**
  - Füllfarbe oder Muster
- Algorithmus
  - Wiederhole
    - Vom Startpixel ausgehend werden rekursiv Nachbapixel umgefärbt
  - Bis Pixel mit **der Farbe der Begrenzungskurve oder bereits umgefärbte Pixel** erreicht werden

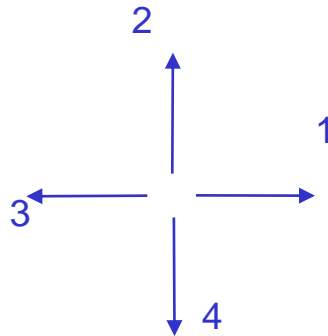
#### ii. Flood/Interior-Fill-Algorithmus

- Input
  - Startpunkt (Saatkorn)
  - Farbe der **umzufärbenden Pixel**
  - Füllfarbe oder Muster
- Algorithmus
  - Wiederhole
    - Vom Startpixel ausgehend werden rekursiv Nachbapixel umgefärbt
  - Bis Pixel mit **abweichender Farbe** erreicht werden

## 3.4 Füllalgorithmen

### Saatpunkt-Methode / Seed-Fill

- Einfacher Saatkorn-Algorithmus
  - 4 Bewegungsrichtungen
  - randdefiniertes Gebiet
  - FILO/LIFO-Prinzip (Stack)
- Eventuell werden Pixel mehrfach im Stack abgelegt (und gefärbt)



```
Empty(stack);
```

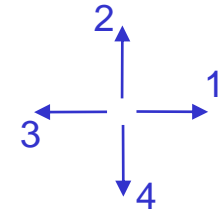
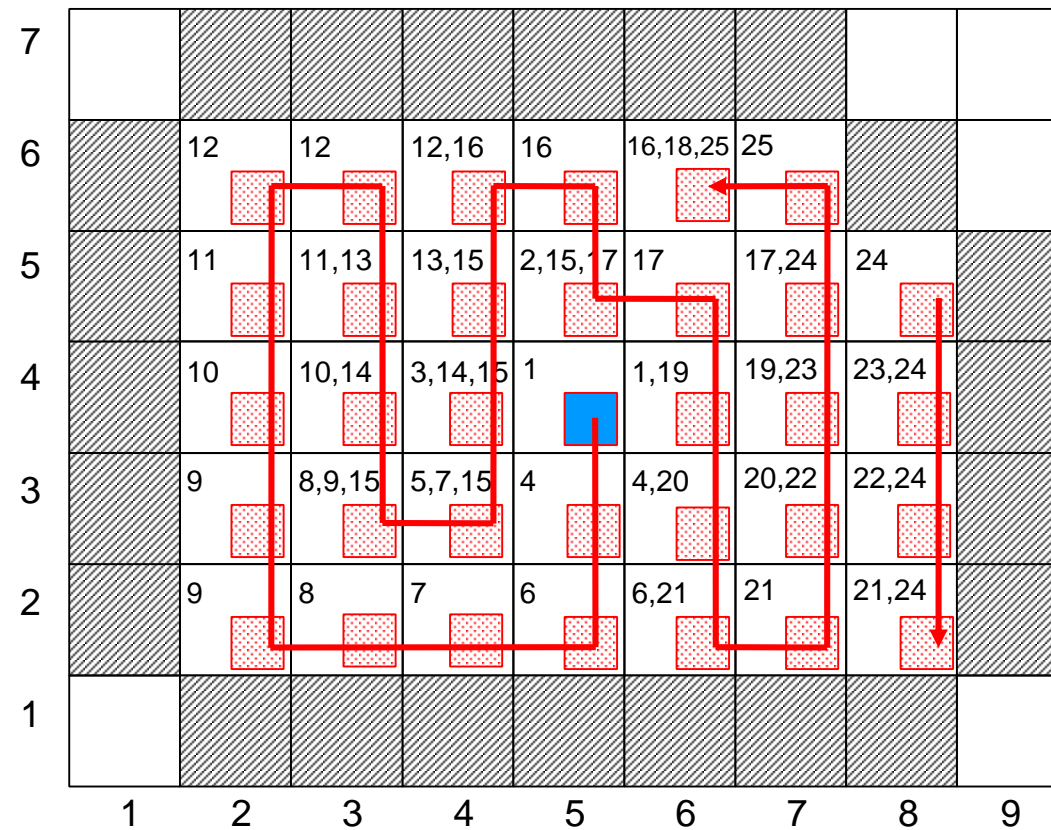
```
Push(stack, seed-pixel);
```

```
while(stack not empty) {  
    pixel = Pop(stack);  
    setColor(pixel, FillColor);  
    for (each of the 4-connected pixels  $p_i$ ) {  
        if (! (( $p_i$  == boundary_pixel)  
            || (colorOf( $p_i$ ) == FillColor))) {  
            Push(stack,  $p_i$ );  
        }  
    }  
}
```

## 3.4 Füllalgorithmen

### Saatpunkt-Methode / Seed-Fill

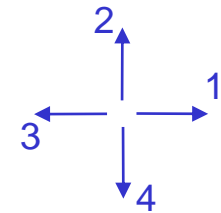
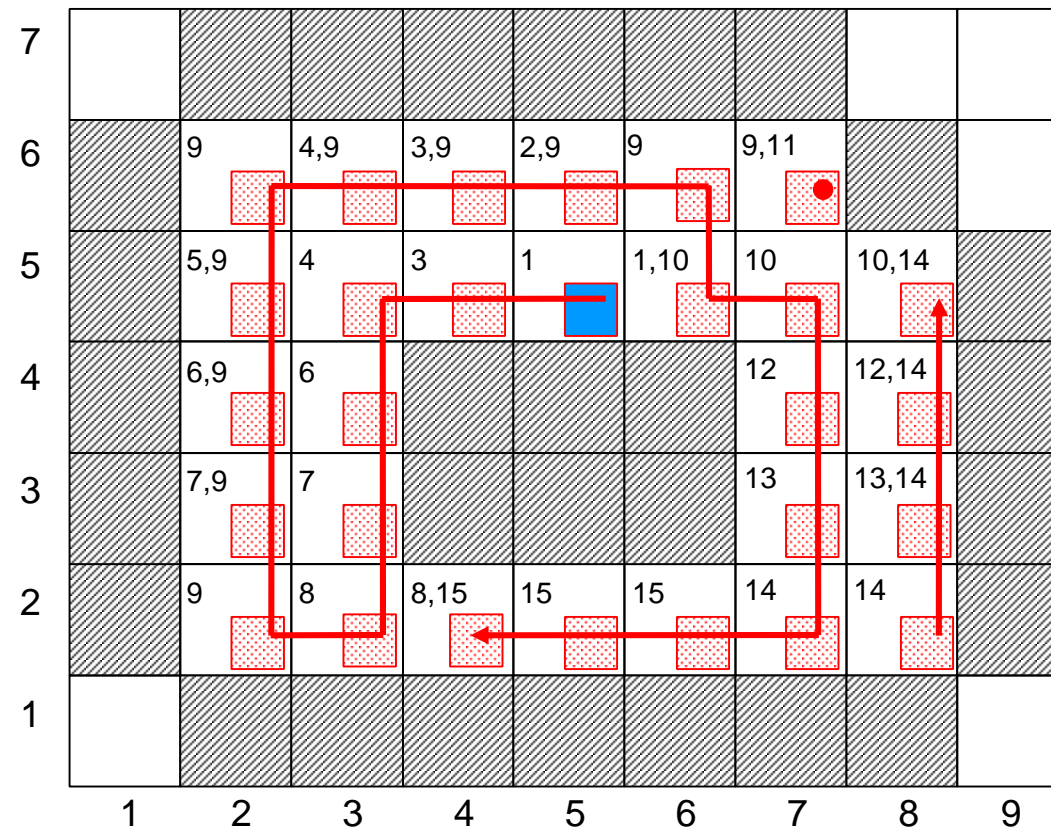
- Zahlen: Position der Pixel im Stack



## 3.4 Füllalgorithmen

### Saatpunkt-Methode / Seed-Fill

- Gebiet mit Loch (Zahlen: Position der Pixel im Stack)



## 3.4 Füllalgorithmen

- Hybrid-Methoden
  - verwenden die Ideen der Scan-Line- und Saatpunkt-Methoden gemeinsam
  - Scan-Line-Seed-Fill-Algorithmus

## 3.5 Aliasing

### Aliasing (Signaltheorie)

- Allgemein versteht man unter Aliasing-Effekten
  - die **fehlerhafte Rekonstruktion**
  - eines (kontinuierlichen) Ausgangssignals
  - durch eine Abtastung mit **zu geringer Frequenz** (vgl. Nyquist-Theorem)
- Im Frequenzbereich **bandbegrenzte Signale** müssen mit **mehr als der doppelten Grenzfrequenz** abgetastet werden, um eine exakte Rekonstruktion zu ermöglichen

### Aliasing (Computergraphik)

- Visuelle Artefakte durch
  - **Unterabtastung**  
(z.B. bei einem Schachbrettmuster)
  - **Rasterkonvertierungseffekte**  
(z.B. Treppeneffekte bei schrägen Linien)
  - **Örtliches und zeitliches Aliasing**  
(z.B. scheinbar rückwärts drehende Räder)



## 3.5 Aliasing

### Anti-Aliasing-Verfahren

- Methoden um Aliasing-Effekten entgegenzuwirken
  - Überabtastung
  - Filterung
- Ein echtes „Beseitigen“ ist oft (schon theoretisch) **nicht möglich**
  - wenn die Signale **nicht bandbegrenzt** sind
  - eine höhere Abtastfrequenz - also **Überabtastung** vermindert die Alias-Effekte, aber beseitigt sie nicht vollständig
- Bei Artefakten der **Rasterkonvertierung** spricht man von „Verfahren zur (Bild-)**Kantenglättung**“.

## 3.5 Aliasing

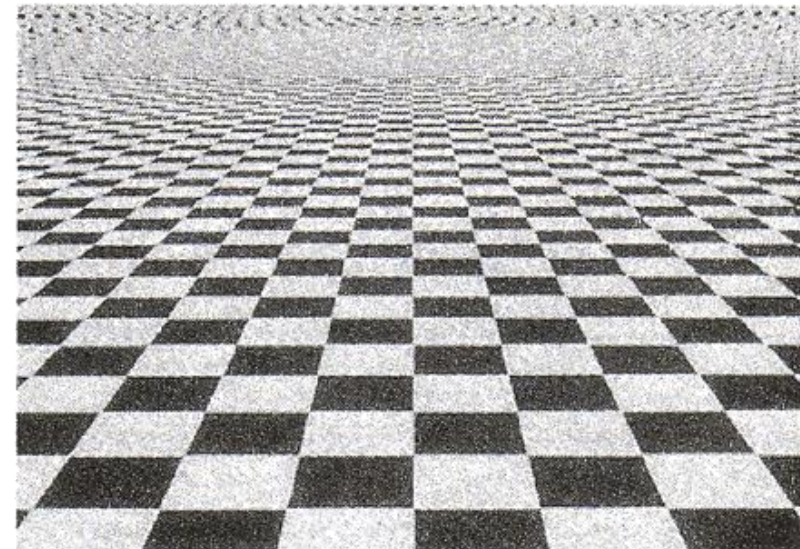
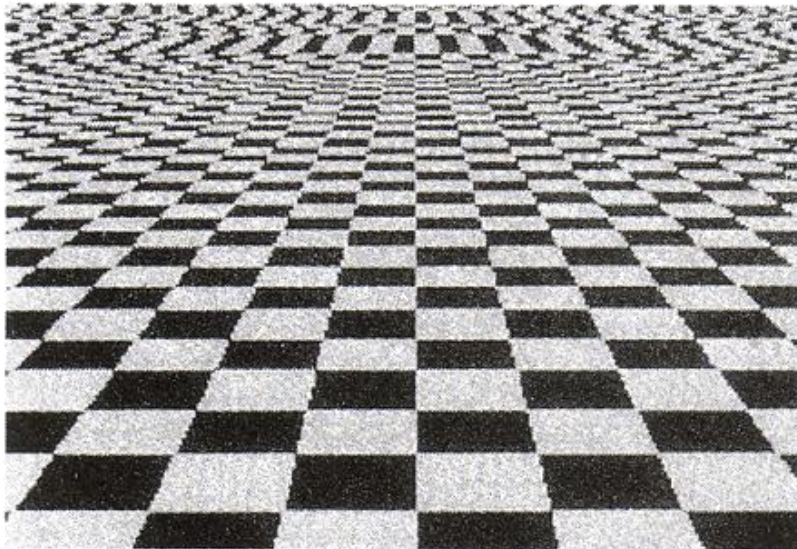
### Aliasing-Artefakte in der Computergraphik

- Textur-Artefakte (z.B. Schachbrettmuster)
- Treppeneffekte beim Rastern von Kurven: **Jagged Edges**
- Verschwinden von Objekten, die kleiner als ein Pixel sind
- Verschwinden von langen, dünnen Objekten
- Detailverlust bei komplexen Bildern
- „Aufblinken“ kleiner Objekte bei Bewegungen / Animationen: **Popping**
- Üblicherweise treten visuelle Artefakte auf, wenn die **Periodizität** (zum Beispiel Kachelmuster) in der Textur die **Größenordnung von Pixeln** erreicht
- Es gilt: „Echtes“ Aliasing kann in Computergraphikbildern mittels Überabtastung nicht entfernt, sondern nur verbessert werden (**nicht bandbegrenzt**)

## 3.5 Aliasing

### Textur-Artefakte, unendliches Schachbrettmuster

- Am oberen Ende werden die Quadrate zunächst immer kleiner und dann wieder größer (Aliasing)
- Dies ist ein Ergebnis zu grober Abtastung
- Mittels **zweifacher Überabtastung** (Abtastung mit doppelter Frequenz, d.h. vierfacher Rechenaufwand) können die **Artefakte verringert** werden
- Sie treten aber bei höheren Frequenzen immer noch auf (hier: später, weiter oben)



## 3.5 Aliasing

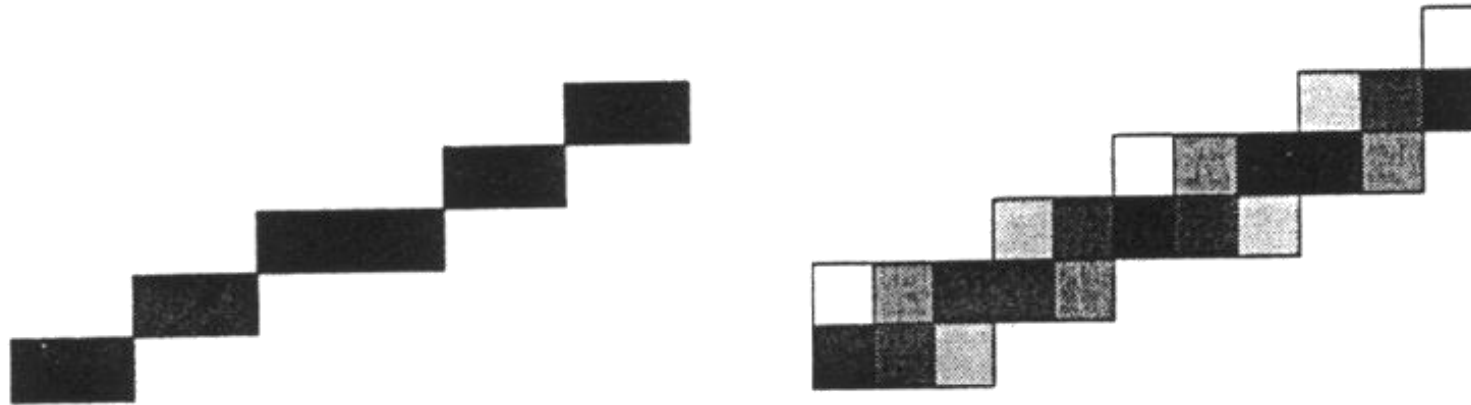
### Treppeneffekte, Jagged Edges, Jaggies

- Die bisher beschriebenen Verfahren zur Rasterung von Geraden und Kurven **erzeugen Treppeneffekte**
- Zeichnen von Punkten nur **an Rasterpositionen** möglich
- Diese entsprechen im Allgemeinen **nicht den tatsächlichen** Positionen (Sollpositionen) entsprechen
- Um solchen Aliasing-Effekten entgegenzuwirken, werden **mehrere Intensitäten** zur Erhöhung der visuellen Auflösung benutzt
- Zum Beispiel verwendet eine Variante des Bresenham-Algorithmus für Geraden (im ersten Oktanten) für jeden x-Wert **zwei Pixel mit Grautönen entsprechend eines Abstandmaßes** zur zu zeichnenden Strecke

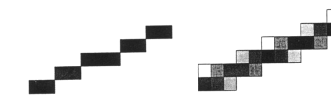
## 3.5 Aliasing

### Treppeneffekte, Jagged Edges, Jaggies

- Treppeneffekte bei einer gerasterten Geraden
- Graustufen, um Treppeneffekte zu verringern



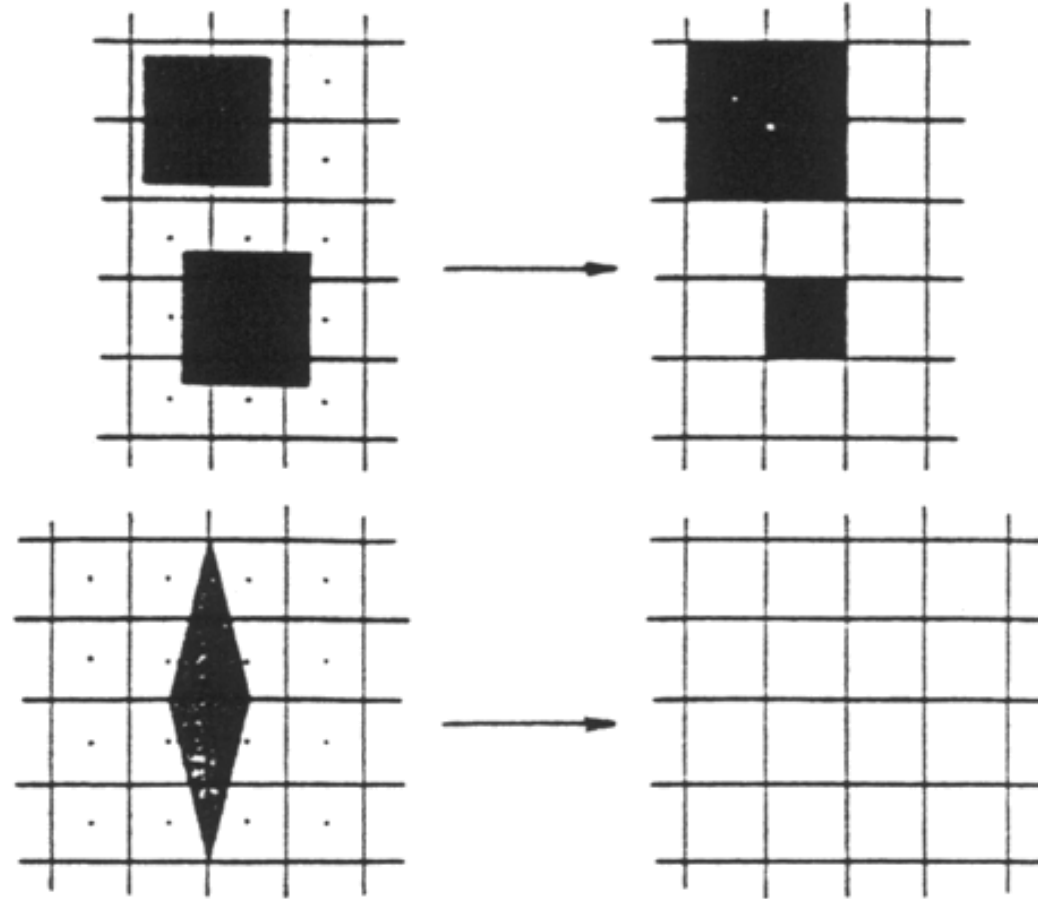
Gegenüberstellung von ungeglättetem und geglättetem Vektor.



Gegenüberstellung von ungeglättetem und geglättetem Vektor.

## 3.5 Aliasing

### Aliasing bei Polygonen



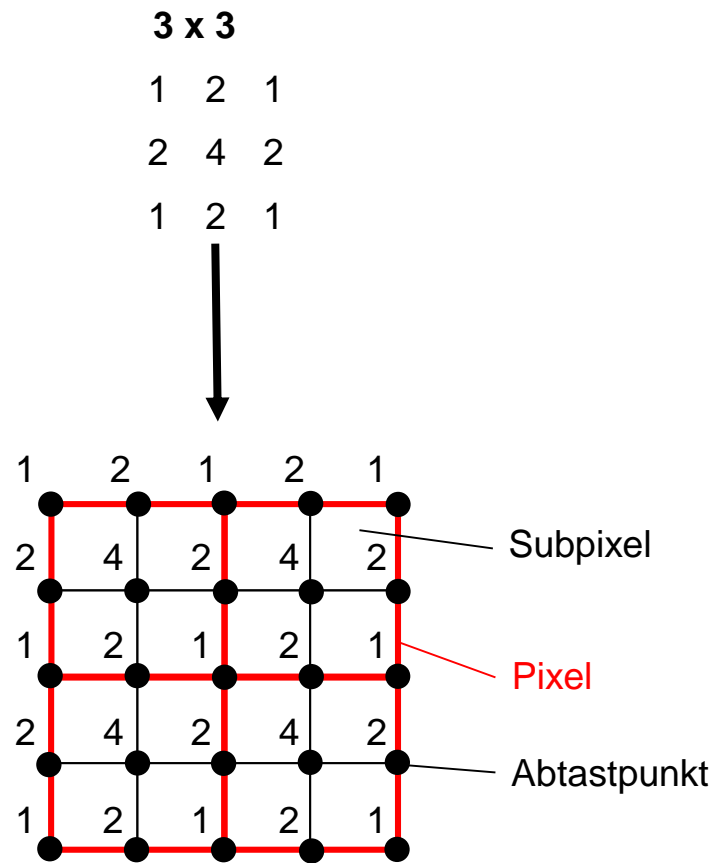
## 3.5 Aliasing

### Anti-Aliasing Verfahren: Oversampling

- Ein einfaches globales Anti-Aliasing-Verfahren
- Andere Bezeichnungen
  - Überabtastung
  - Supersampling
- Jedes Pixel wird mit einer höheren Auflösung berechnet, als es schließlich dargestellt wird
- Das Pixel erhält als eigentliche Grauwertintensität bzw. Farbwert einen gewichteten Durchschnitt der an ihm beteiligten Subpixelwerte
- Dieses Vorgehen entspricht allgemein einem Filterprozess, dessen theoretische Grundlagen in der Digitalen Signalverarbeitung begründet liegen

## 3.5 Aliasing

### Anti-Aliasing Verfahren (Filterkerne [Crow, 1981])



**5 x 5**

1	2	3	2	1
2	4	6	4	2
3	6	9	6	3
2	4	6	4	2
1	2	3	2	1

**7 x 7**

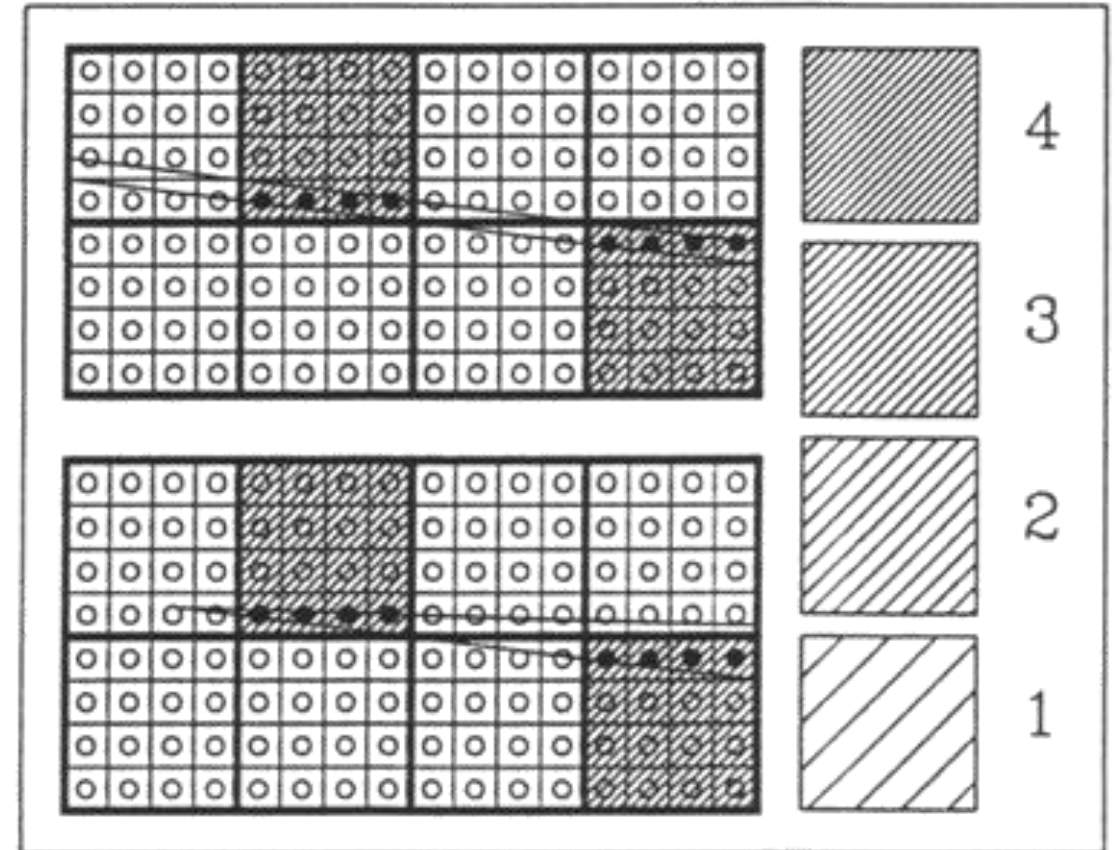
1	2	3	4	3	2	1
2	4	6	8	6	4	2
3	6	9	12	9	6	3
4	8	12	16	12	8	4
3	6	9	12	9	6	3
2	4	6	8	6	4	2
1	2	3	4	3	2	1



## 3.5 Aliasing

### Anti-Aliasing Verfahren

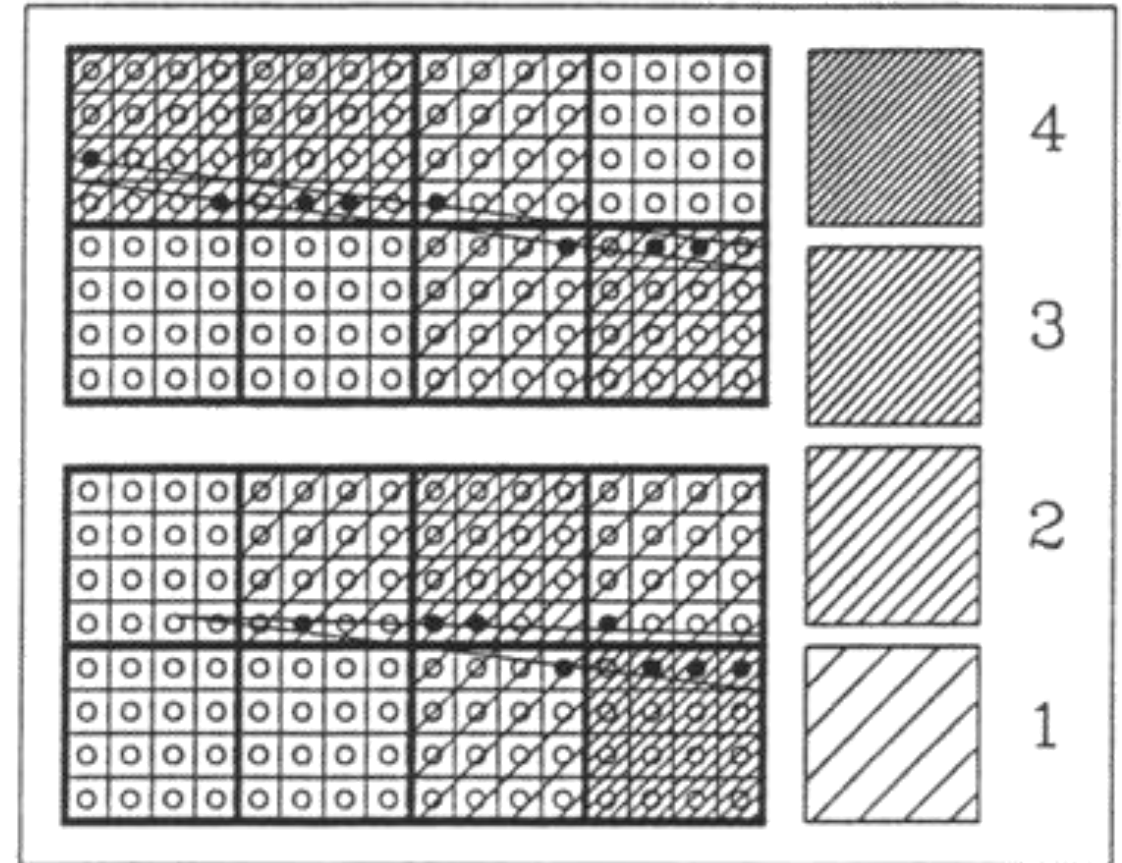
- Bei **Linien und spitzen Dreiecken (dünnen Polygonen)** kann es trotz Supersamplings zu überraschenden Effekten kommen
- Gesetzte Subpixel sind schwarz.
- Die Schraffur zeigt den Grauwert abhängig von der Anzahl der gesetzten Subpixel
- Oben:  
Linie verschwindet stellenweise, da keine Subpixel getroffen werden!
- Unten:  
Analog für das Dreieck



## 3.5 Aliasing

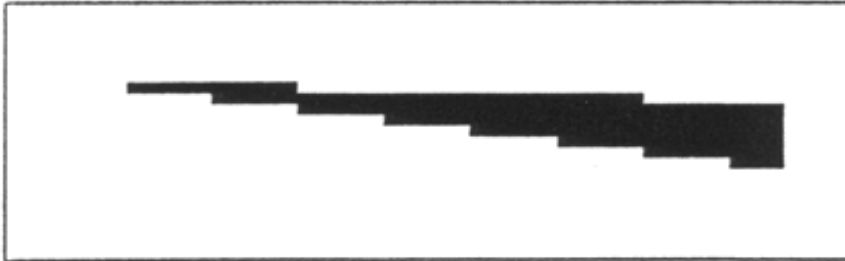
### Anti-Aliasing Verfahren

- Abhilfe für dieses Problem schafft erst eine (korrekte) **Berechnung der überdeckten Fläche** im Pixel
- Die praktische Anwendung dieser Methode schließt allerdings eine **exakte analytische Berechnung** der wirklich im Pixel überdeckten Fläche **aus**
- Es existieren hierzu verschiedenste **Näherungsverfahren**
  - Die überdeckte Fläche lässt sich auch durch eine Anzahl entsprechend gesetzter Subpixel angenähert darstellen

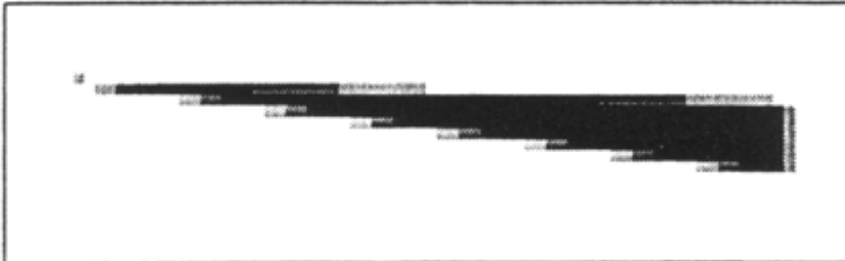


## 3.5 Aliasing

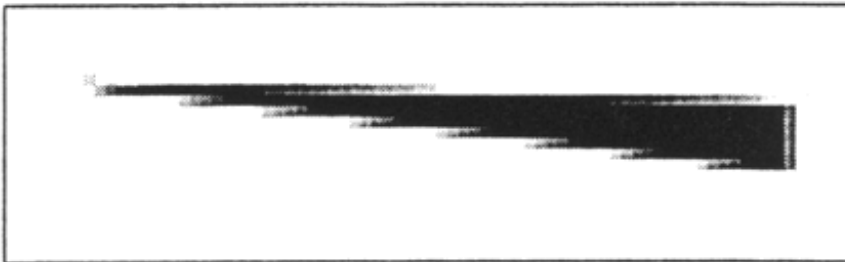
Anti-Aliasing Verfahren (Leistungsfähigkeit der vorgestellten Verfahren)



Spitzes Dreieck ohne Glättung



Spitzes Dreieck mit Oversampling



Spitzes Dreieck mit korrekter Berechnung der überdeckten Fläche

## 3.5 Aliasing

### Anti-Aliasing Verfahren: Stochastische Methoden

- Beim stochastischen Abtasten wird das Oversampling mittels Monte-Carlo-Methoden durchgeführt, d.h. die Grauwerte (Intensität) werden an einigen zufälligen Punkten im Pixel ermittelt und das Ergebnis gemittelt
- Auch bei der Berechnung der vom Polygon im Pixel überdeckten Fläche können Monte-Carlo-Methoden eingesetzt werden
- Stochastische Methoden
  - erhöhen die Effizienz (schnellere Berechnung)
  - neigen aber z.B. zu Problemen bei Animationen, da Objekte flimmern können

# Quellen

- Computergraphik, Universität Leipzig  
(Prof. D. Bartz)
- Graphische Datenverarbeitung I, Universität Tübingen  
(Prof. W. Straßer)
- Graphische Datenverarbeitung I, TU Darmstadt  
(Prof. M. Alexa)